



NetWorks Sp. z o.o.
Laboratorium Badań Środowiskowych
ul. Józefa Piusa Dziekońskiego 3
00-728 Warszawa
e-mail: Laboratorium@networks.pl



AB 419

S P R A W O Z D A N I E 4613/2026/OS
Z POMIARÓW PÓL ELEKTROMAGNETYCZNYCH
WYKONANYCH DLA POTRZEB OCHRONY ŚRODOWISKA

Badany obiekt: Instalacja radiokomunikacyjna T-Mobile Polska S.A.
Numer i nazwa: 38818 (48818N!) GEB_SZTUTOWO_KOBYLAKEPA
Adres: KOBYLA KĘPA DZ.63/7, Powiat nowodworski, WOJ. POMORSKIE

Data wykonania pomiarów: 2026-06-02

Sprawozdanie z badań bez pisemnej zgody laboratorium nie może być powielane inaczej niż w całości.
Wyniki przedstawione w niniejszym sprawozdaniu odnoszą się wyłącznie do badanego obiektu i do warunków i konfiguracji urządzeń w dniu wykonywania pomiarów.

1. Właściciel badanego obiektu:

T-Mobile Polska S.A., ul. Marynarska 12, 02-674 Warszawa

2. Zleceniodawca:

T-Mobile Polska S.A., ul. Marynarska 12, 02-674 Warszawa

3. Przedstawiciel zleceniodawcy:

NetWorks Sp. z o.o.

4. Zakres zlecenia:

Wykonanie badania i opracowanie sprawozdania z pomiarów natężenia pola elektrycznego i pola magnetycznego dla instalacji radiokomunikacyjnej T-Mobile Polska S.A. zlokalizowanej w miejscowości KOBYLA KĘPA DZ.63/7.

5. Cel zlecenia:

Wykonanie pomiarów pól elektromagnetycznych w otoczeniu instalacji radiokomunikacyjnej 38818 (48818N!) GEB_SZTUTOWO_KOBYLAKEPA w odniesieniu do wymagań określonych w *Rozporządzeniu Ministra Klimatu z dnia 17 lutego 2020 r. w sprawie sposobów sprawdzania dotrzymania dopuszczalnych poziomów pól elektromagnetycznych w środowisku (Dz.U. 2022 poz. 2630)*.

6. Pomiary zostały wykonane przez:

Helwak Jakub
Przybyszewski Patryk

7. Informacje o źródłach pól elektromagnetycznych**7.1. Sposób identyfikacji badanych źródeł pól elektromagnetycznych**

Identyfikacji źródeł i parametrów technicznych dokonano na podstawie analizy dokumentacji dotyczącej zlecenia oraz obserwacji miejsca wykonywania badań.

7.2. Opis miejsca zainstalowania anten i urządzeń technicznych. Opis obiektu badań i jego otoczenia

Instalacja radiokomunikacyjna zlokalizowana jest na terenie ogrodzonym. Anteny zawieszono na wieży kratowej. Urządzenia sterujące oraz zasilające zainstalowano w szafie outdoor u podstawy wieży. Wokół instalacji znajdują się tereny rolnicze.

Instalacja radiokomunikacyjna jest obiektem bezobsługowym. Okresowe stanowiska pracy związane są z prowadzonymi w zależności od potrzeb konserwacjami, przeglądami, strojeniem i naprawami.

7.3. Parametry techniczne źródła pola elektromagnetycznego

Dane przedstawiające maksymalne parametry pracy instalacji przekazane przez zleceniodawcę:

Parametry systemu nadawczo-odbiorczego:

| Charakterystyka promieniowania | | Kierunkowa | | | | | |
|---------------------------------|--|----------------------|--------------|------------|--|--|--|
| Rzeczywisty czas pracy [h/dobę] | | 24 | | | | | |
| Warunki pracy | | Znamionowe | | | | | |
| Rodzaj wytwarzanego pola | | Stacjonarne | | | | | |
| Lp. | Częstotliwość lub zakresy częstotliwości pracy [MHz] | Typ/producent anteny | liczba anten | Azymut [°] | kąt pochylenia [°] | Wysokość środka elektrycznego anteny [m n.p.t] | Równoważna moc promieniowana izotropowo (EIRP) [W] |
| 1 | 800/900/1800/2100/2600 | AQU4518R25v18 Huawei | 1 | 45 | 0-10**/0-10**/2-12**/ 2-12**/2-12** | 46.8 | 29706 |
| 2 | 3600 | AQQQ NSN | 1 | 45 | 4-10** | 46.8 | 47886 |
| 3 | 800/900/1800/2100/2600 | AQU4518R25v18 Huawei | 1 | 180 | 0-10**/0-10**/2-12**/ 2-12**/2-12** | 46.8 | 29706 |
| 4 | 3600 | AQQQ NSN | 1 | 180 | 4-10** | 46.8 | 47886 |
| 5 | 800/900/1800/2100/2600 | AQU4518R25v18 Huawei | 1 | 300 | 0-10**/0-10**/2-12**/ 2-12**/2-12** | 46.8 | 29706 |
| 6 | 3600 | AQQQ NSN | 1 | 300 | 4-10** | 46.8 | 47886 |

* wskazane wartości kąta pochylenia anten, zgodnie z informacją uzyskaną od zleceniodawcy, są wartościami stałymi

** pomiary wykonano zgodnie z pkt 13., ppkt 2 załącznika do Rozporządzenia Ministra Klimatu z dnia 17 lutego 2020 r. (Dz. U. 2022, poz. 2630).

Parametry radiolinii:

| Charakterystyka promieniowania | | kierunkowa | | | | | |
|---------------------------------|--------------------------------|---------------------------|--|-----------------|---------------------|------------|-----------------------------------|
| Rzeczywisty czas pracy [h/dobę] | | 24 | | | | | |
| Warunki pracy | | znamionowe | | | | | |
| Rodzaj wytwarzanego pola | | stacjonarne | | | | | |
| Lp. | Linia radiowa | | | Antena | | | |
| | Typ/ Producent | Częstotliwość pracy [GHz] | Równoważna moc promieniowana izotropowo (EIRP) [W] | Typ/ producent | Średnica anteny [m] | Azymut [°] | Wysokość zainstalowania n.p.t [m] |
| 1. | UBT-mXP 70/80GHz 500 MHz Nokia | 80 | 399 | TYA03U080 Nokia | 0.3 | 290 | 35 |

7.4 Inne źródła pól elektromagnetycznych

Na podstawie informacji otrzymanych od użytkownika oraz obserwacji otoczenia miejsca wykonywania pomiarów stwierdzono występowanie innych źródeł pola-EM, pracujących w systemach: telefonii komórkowej (800MHz-3800MHz), linii radiowych (5GHz-90GHz), które istotnie wpływają na wyniki pomiarów.

8. Opis pomiarów

8.1. Metoda badań

Zgodna z rozporządzeniem Ministra Klimatu z dnia 17 lutego 2020 r. w sprawie sposobów sprawdzania dotrzymania dopuszczalnych poziomów pól elektromagnetycznych w środowisku (Dz.U. 2022 poz. 2630), określona w pkt 25 ppkt 1 załącznika do niniejszego rozporządzenia.

Sprawozdanie z badań bez pisemnej zgody laboratorium nie może być powielane inaczej niż w całości.

Wyniki przedstawione w niniejszym sprawozdaniu odnoszą się wyłącznie do badanego obiektu i do warunków i konfiguracji urządzeń w dniu wykonywania pomiarów.

8.2. Termin pomiarów i warunki środowiskowe

Podczas wykonywania pomiarów pól elektromagnetycznych nie występowały opady atmosferyczne. Wyniki pomiaru parametrów pogodowych przedstawia poniższa tabela:

| Data [rrrr-mm-dd] | Godzina [hh:mm-hh:mm] | Warunki środowiskowe | | | |
|----------------------|--------------------------|----------------------|--------------|-------------------------|--------------|
| | | Temperatura [°C] | | Wilgotność względna [%] | |
| 2026-06-02 | 13:05-14:20 | Przed pomiarem | Po pomiarach | Przed pomiarem | Po pomiarach |
| | | | | 21.0 | 21.7 |

Przedstawione wyżej warunki środowiskowe, występujące podczas wykonywania pomiarów pól elektromagnetycznych, są zgodne ze specyfikacją techniczną użytego zestawu pomiarowego.

8.3. Warunki pracy urządzeń nadawczych

Podczas pomiarów w przypadku uzyskania wyniku pomiaru szerokopasmowego wykonanego zastosowaną metodą, dla zakresów częstotliwości od 10 MHz do 300 GHz, powiększonego o rozszerzoną niepewność pomiaru U dla współczynnika rozszerzenia $k = 2$ przekraczającego 70% najniższej dopuszczalnej wartości składowej elektrycznej lub magnetycznej pola dla objętych pomiarami zakresów częstotliwości, uwzględnia się poprawki pomiarowe przekazane przez zleceniodawcę, umożliwiające uwzględnienie maksymalnych parametrów pracy instalacji zgodnie z pkt 7 załącznika do Rozporządzeniem Ministra Klimatu z dnia 17 lutego 2020 r. w sprawie sposobów sprawdzania dotrzymania dopuszczalnych poziomów pól elektromagnetycznych w środowisku (Dz. U. 2022, poz. 2630) zaznaczając, że wymagane jest wykonanie pomiaru z wykorzystaniem miernika selektywnego. W przypadku uzyskania wyniku pomiaru szerokopasmowego wykonanego zastosowaną metodą, dla zakresów częstotliwości od 10 MHz do 300 GHz, powiększonego o rozszerzoną niepewność pomiaru U dla współczynnika rozszerzenia $k = 2$ nieprzekraczającego 70% najniższej dopuszczalnej wartości składowej elektrycznej lub magnetycznej pola dla objętych pomiarami zakresów częstotliwości, nie uwzględnia się poprawek pomiarowych.

8.4. Wyposażenie pomiarowe

Zestaw pomiarowy służący do pomiaru natężenia składowej elektrycznej pola elektromagnetycznego złożony z szerokopasmowego miernika i sondy pomiarowej:

| Oznaczenie miernika | Producent | Model | Numer fabryczny | Oznaczenie sondy | Producent | Model | Numer fabryczny |
|---------------------|-------------|---------------------------------------|-----------------|------------------|-------------|-------------|-----------------|
| MW-08 | Wavecontrol | Miernik pól elektromagnetycznych SMP2 | 22SN2090 | SW-15 | Wavecontrol | Sonda WPF60 | 22WP230221 |

Mierniki natężenia pola elektromagnetycznego podlegają okresowemu sprawdzeniu zgodnie z procedurą wewnętrzną P-03 i PB-01. Świadectwo wzorcowania zestawu pomiarowego z dnia 8 listopada 2024 o numerze LWiMP/W/395/24 wydane przez Politechnika Wrocławską. Data następnego wzorcowania: 8 listopada 2026 (zgodnie z procedurą wewnętrzną P-03).

| Oznaczenie miernika | Producent | Model | Numer fabryczny | Oznaczenie sondy | Producent | Model | Numer fabryczny |
|---------------------|-------------|---------------------------------------|-----------------|------------------|-------------|---------------|-----------------|
| MW-08 | Wavecontrol | Miernik pól elektromagnetycznych SMP2 | 22SN2090 | SW-16 | Wavecontrol | Sonda WPF3-HP | 22WP030450 |

Mierniki natężenia pola elektromagnetycznego podlegają okresowemu sprawdzeniu zgodnie z procedurą wewnętrzną P-03 i PB-01. Świadectwo wzorcowania zestawu pomiarowego z dnia 8 listopada 2024 o numerze LWiMP/W/395/24 wydane przez Politechnika Wrocławską. Data następnego wzorcowania: 8 listopada 2026 (zgodnie z procedurą wewnętrzną P-03).

Termohigrometr:

| | | | | | |
|-------------|-------|------------|--------------------|--------|-----------------------|
| Oznaczenie: | TH-24 | Producent: | AZ INSTRUMENT CORP | Model: | Termohigrometr AZ8706 |
|-------------|-------|------------|--------------------|--------|-----------------------|

Data następnego wzorcowania: 3 sierpnia 2027 (zgodnie z procedurą wewnętrzną P-03).

Dalmierz:

| Oznaczenie | Producent | Typ | Numer seryjny | Nr świadectwa wzorcowania | Data świadectwa wzorcowania |
|------------|-----------|---------------------------|---------------|---------------------------------|-----------------------------|
| D-09 | Leica | Dalmierz Leica Disto D510 | 1042956700 | Z3- Z32.4180.182.2024.4196.3 | 8 stycznia 2025 |

Data następnego wzorcowania: 8 stycznia 2035 (zgodnie z procedurą wewnętrzną P-03).

Sprawozdanie z badań bez pisemnej zgody laboratorium nie może być powielane inaczej niż w całości.

Wyniki przedstawione w niniejszym sprawozdaniu odnoszą się wyłącznie do badanego obiektu i do warunków i konfiguracji urządzeń w dniu wykonywania pomiarów.

Odbiornik GNSS:

| | | |
|---|-----------|---------|
| Odbiornik GNSS wbudowany w miernik natężenia pola elektromagnetycznego użyty podczas pomiarów | Producent | Model |
| | UBlox | MAX-M8Q |

Odbiorniki podlegają okresowemu sprawdzeniu zgodnie z procedurą wewnętrzną P-03.

9. Wyniki pomiarów

W obszarze pomiarowym, w którym na podstawie uprzednio przeprowadzonych obliczeń (OOP* 1765/2026/RP), stwierdzono występowanie w danych zakresach częstotliwości pól elektromagnetycznych o poziomach zbliżonych do poziomów dopuszczalnych, określonych w przepisach wydanych na podstawie art. 122 ust. 1 ustawy z dnia 27 kwietnia 2001 r. – Prawo ochrony środowiska nie stwierdzono występowania zabudowy mieszkalnej.

*OOP - Obligatoryjny Obszar Pomiarowy - opracowanie przedstawia przewidywane rozkłady pól elektromagnetycznych w otoczeniu instalacji radiokomunikacyjnej.

Pole elektryczne

| Nr pionu | Opis umiejscowienia pionu (punktu pomiarowego) | Wysokość pomiaru [m] | Zmierzona wartość natężenia pola elektrycznego E [V/m] ^{1,5} | | | Wartość natężenia pola elektrycznego powiększona o niepewność pomiaru ⁴ E [V/m] | Wskaźnikowa wartość poziomu emisji pól elektromagnetycznych WMe ³ | Współrzędne geograficzne pionu (punktu pomiarowego) ² |
|----------|---|----------------------|---|-------------|---------|--|--|--|
| | | | Sonda SW-15 | Sonda SW-16 | Wartość | | | |
| 1 | GKP w odległości poziomej 8m od anteny sektorowej az. 45° | 0.3-2.0 | <1.0* | <1.0* | <1.0* | 1.4 | 0.05 | 54°19'39.7" 19°12'2.9" |
| 2 | GKP w odległości poziomej 56m od anteny sektorowej az. 45° | 0.3-2.0 | <1.0* | <1.0* | <1.0* | 1.4 | 0.05 | 54°19'40.8" 19°12'4.7" |
| 3 | PKP na az. 38° w odległości poziomej 56m od anteny sektorowej az. 45° | 0.3-2.0 | <1.0* | <1.0* | <1.0* | 1.4 | 0.05 | 54°19'40.8" 19°12'4.3" |
| 4 | PKP na az. 25° w odległości poziomej 55m od anteny sektorowej az. 45° | 0.3-2.0 | <1.0* | <1.0* | <1.0* | 1.4 | 0.05 | 54°19'41.2" 19°12'4.0" |
| 5 | PKP na az. 10° w odległości poziomej 55m od anteny sektorowej az. 45° | 0.3-2.0 | <1.0* | <1.0* | <1.0* | 1.4 | 0.05 | 54°19'41.2" 19°12'3.2" |
| 6 | PKP na az. 52° w odległości poziomej 55m od anteny sektorowej az. 45° | 0.3-2.0 | <1.0* | <1.0* | <1.0* | 1.4 | 0.05 | 54°19'40.4" 19°12'5.0" |
| 7 | PKP na az. 65° w odległości poziomej 55m od anteny sektorowej az. 45° | 0.3-2.0 | <1.0* | <1.0* | <1.0* | 1.4 | 0.05 | 54°19'40.1" 19°12'5.4" |
| 8 | PKP na az. 80° w odległości poziomej 56m od anteny sektorowej az. 45° | 0.3-2.0 | <1.0* | <1.0* | <1.0* | 1.4 | 0.05 | 54°19'39.7" 19°12'5.8" |
| 9 | GKP w odległości poziomej 85m od anteny sektorowej az. 45° | 0.3-2.0 | <1.0* | <1.0* | <1.0* | 1.4 | 0.05 | 54°19'41.5" 19°12'5.8" |
| 10 | GKP w odległości poziomej 144m od anteny sektorowej az. 45° | 0.3-2.0 | <1.0* | <1.0* | <1.0* | 1.4 | 0.05 | 54°19'42.6" 19°12'8.3" |
| 11 | GKP w odległości poziomej 7m od anteny sektorowej az. 180° | 0.3-2.0 | <1.0* | <1.0* | <1.0* | 1.4 | 0.05 | 54°19'39.0" 19°12'2.5" |
| 12 | GKP w odległości poziomej 55m od anteny sektorowej az. 180° | 0.3-2.0 | <1.0* | <1.0* | <1.0* | 1.4 | 0.05 | 54°19'37.6" 19°12'2.5" |
| 13 | PKP na az. 187° w odległości poziomej 56m | 0.3-2.0 | <1.0* | <1.0* | <1.0* | 1.4 | 0.05 | 54°19'37.6" 19°12'2.2" |

Sprawozdanie z badań bez pisemnej zgody laboratorium nie może być powielane inaczej niż w całości.

Wyniki przedstawione w niniejszym sprawozdaniu odnoszą się wyłącznie do badanego obiektu i do warunków i konfiguracji urządzeń w dniu wykonywania pomiarów.

| | | | | | | | | |
|----|---|---------|------------|------------|------------|-----|------|----------------------------|
| | od anteny sektorowej az. 180° | | | | | | | |
| 14 | PKP na az. 200° w odległości poziomej 56m od anteny sektorowej az. 180° | 0.3-2.0 | <1.0* | <1.0* | <1.0* | 1.4 | 0.05 | 54°19'37.6" 19°12'1.4" |
| 15 | PKP na az. 215° w odległości poziomej 55m od anteny sektorowej az. 180° | 0.3-2.0 | <1.0* | <1.0* | <1.0* | 1.4 | 0.05 | 54°19'37.9" 19°12'0.7" |
| 16 | PKP na az. 173° w odległości poziomej 56m od anteny sektorowej az. 180° | 0.3-2.0 | <1.0* | <1.0* | <1.0* | 1.4 | 0.05 | 54°19'37.6" 19°12'2.9" |
| 17 | PKP na az. 160° w odległości poziomej 55m od anteny sektorowej az. 180° | 0.3-2.0 | <1.0* | <1.0* | <1.0* | 1.4 | 0.05 | 54°19'37.6" 19°12'3.6" |
| 18 | PKP na az. 145° w odległości poziomej 56m od anteny sektorowej az. 180° | 0.3-2.0 | <1.0* | <1.0* | <1.0* | 1.4 | 0.05 | 54°19'37.9" 19°12'4.3" |
| 19 | GKP w odległości poziomej 111m od anteny sektorowej az. 180° | 0.3-2.0 | <1.0* | <1.0* | <1.0* | 1.4 | 0.05 | 54°19'35.8" 19°12'2.5" |
| 20 | GKP w odległości poziomej 7m od anteny sektorowej az. 300° | 0.3-2.0 | <1.0* | <1.0* | <1.0* | 1.4 | 0.05 | 54°19'39.4" 19°12'2.2" |
| 21 | GKP w odległości poziomej 56m od anteny sektorowej az. 300° | 0.3-2.0 | <1.0* | <1.0* | <1.0* | 1.4 | 0.05 | 54°19'40.4" 19°11'59.6" |
| 22 | GKP w odległości poziomej 56m od anteny radioliniowej az. 290° | 0.3-2.0 | <1.0* | <1.0* | <1.0* | 1.4 | 0.05 | 54°19'40.1" 19°11'59.6" |
| 23 | PKP na az. 293° w odległości poziomej 56m od anteny sektorowej az. 300° | 0.3-2.0 | <1.0* | <1.0* | <1.0* | 1.4 | 0.05 | 54°19'40.1" 19°11'59.6" |
| 24 | PKP na az. 307° w odległości poziomej 56m od anteny sektorowej az. 300° | 0.3-2.0 | <1.0* | <1.0* | <1.0* | 1.4 | 0.05 | 54°19'40.4" 19°11'60.0" |
| 25 | PKP na az. 320° w odległości poziomej 52m od anteny sektorowej az. 300° | 0.3-2.0 | <1.0* | <1.0* | <1.0* | 1.4 | 0.05 | 54°19'40.8" 19°12'0.7" |
| 26 | PKP na az. 335° w odległości poziomej 56m od anteny sektorowej az. 300° | 0.3-2.0 | <1.0* | <1.0* | <1.0* | 1.4 | 0.05 | 54°19'41.2" 19°12'1.1" |
| 27 | PKP na az. 280° w odległości poziomej 56m od anteny sektorowej az. 300° | 0.3-2.0 | <1.0* | <1.0* | <1.0* | 1.4 | 0.05 | 54°19'39.7" 19°11'59.3" |
| 28 | PKP na az. 265° w odległości poziomej 55m od anteny sektorowej az. 300° | 0.3-2.0 | <1.0* | <1.0* | <1.0* | 1.4 | 0.05 | 54°19'39.4" 19°11'59.3" |
| 29 | GKP w odległości poziomej 112m od anteny sektorowej az. 300° | 0.3-2.0 | <1.0* | <1.0* | <1.0* | 1.4 | 0.05 | 54°19'41.2" 19°11'57.1" |
| - | GKP w odległości poziomej 261m od anteny sektorowej az. 300° | 2.0 | 1.3 | 1.3 | 1.3 | 1.8 | 0.06 | 54°19'43.7" 19°11'49.9" |
| - | GKP w odległości poziomej 279m od anteny sektorowej az. 45° | 0.3-2.0 | <1.0* | <1.0* | <1.0* | 1.4 | 0.05 | 54°19'45.8" 19°12'13.3" |
| - | GKP w odległości poziomej 239m od anteny sektorowej az. 180° | 0.3-2.0 | <1.0* | <1.0* | <1.0* | 1.4 | 0.05 | 54°19'31.4" 19°12'2.5" |

Sprawozdanie z badań bez pisemnej zgody laboratorium nie może być powielane inaczej niż w całości.

Wyniki przedstawione w niniejszym sprawozdaniu odnoszą się wyłącznie do badanego obiektu i do warunków i konfiguracji urządzeń w dniu wykonywania pomiarów.

Pole magnetyczne (wyznaczone na podstawie pomiaru wartości natężenia pola elektrycznego)

| Nr pionu | Opis umiejscowienia pionu (punktu pomiarowego) | Wysokość pomiaru [m] | Wartość natężenia pola magnetycznego H [A/m] ¹ | | | Wartość natężenia pola magnetycznego powiększona o niepewność pomiaru ⁴ H [A/m] | Wskaźnikowa wartość poziomu emisji pól elektromagnetycznych WM _H ³ | Współrzędne geograficzne pionu (punktu pomiarowego) ² |
|----------|---|----------------------|---|-------------|---------|--|--|--|
| | | | Sonda SW-15 | Sonda SW-16 | Wartość | | | |
| 1 | GKP w odległości poziomej 8m od anteny sektorowej az. 45° | 0.3-2.0 | <0.003* | <0.003* | <0.003* | 0.004 | 0.05 | 54°19'39.7" 19°12'2.9" |
| 2 | GKP w odległości poziomej 56m od anteny sektorowej az. 45° | 0.3-2.0 | <0.003* | <0.003* | <0.003* | 0.004 | 0.05 | 54°19'40.8" 19°12'4.7" |
| 3 | PKP na az. 38° w odległości poziomej 56m od anteny sektorowej az. 45° | 0.3-2.0 | <0.003* | <0.003* | <0.003* | 0.004 | 0.05 | 54°19'40.8" 19°12'4.3" |
| 4 | PKP na az. 25° w odległości poziomej 55m od anteny sektorowej az. 45° | 0.3-2.0 | <0.003* | <0.003* | <0.003* | 0.004 | 0.05 | 54°19'41.2" 19°12'4.0" |
| 5 | PKP na az. 10° w odległości poziomej 55m od anteny sektorowej az. 45° | 0.3-2.0 | <0.003* | <0.003* | <0.003* | 0.004 | 0.05 | 54°19'41.2" 19°12'3.2" |
| 6 | PKP na az. 52° w odległości poziomej 55m od anteny sektorowej az. 45° | 0.3-2.0 | <0.003* | <0.003* | <0.003* | 0.004 | 0.05 | 54°19'40.4" 19°12'5.0" |
| 7 | PKP na az. 65° w odległości poziomej 55m od anteny sektorowej az. 45° | 0.3-2.0 | <0.003* | <0.003* | <0.003* | 0.004 | 0.05 | 54°19'40.1" 19°12'5.4" |
| 8 | PKP na az. 80° w odległości poziomej 56m od anteny sektorowej az. 45° | 0.3-2.0 | <0.003* | <0.003* | <0.003* | 0.004 | 0.05 | 54°19'39.7" 19°12'5.8" |
| 9 | GKP w odległości poziomej 85m od anteny sektorowej az. 45° | 0.3-2.0 | <0.003* | <0.003* | <0.003* | 0.004 | 0.05 | 54°19'41.5" 19°12'5.8" |
| 10 | GKP w odległości poziomej 144m od anteny sektorowej az. 45° | 0.3-2.0 | <0.003* | <0.003* | <0.003* | 0.004 | 0.05 | 54°19'42.6" 19°12'8.3" |
| 11 | GKP w odległości poziomej 7m od anteny sektorowej az. 180° | 0.3-2.0 | <0.003* | <0.003* | <0.003* | 0.004 | 0.05 | 54°19'39.0" 19°12'2.5" |

Sprawozdanie z badań bez pisemnej zgody laboratorium nie może być powielane inaczej niż w całości.

Wyniki przedstawione w niniejszym sprawozdaniu odnoszą się wyłącznie do badanego obiektu i do warunków i konfiguracji urządzeń w dniu wykonywania pomiarów.

| | | | | | | | | |
|----|---|---------|---------|---------|---------|-------|------|----------------------------|
| 12 | GKP w odległości poziomej 55m od anteny sektorowej az. 180° | 0.3-2.0 | <0.003* | <0.003* | <0.003* | 0.004 | 0.05 | 54°19'37.6" 19°12'2.5" |
| 13 | PKP na az. 187° w odległości poziomej 56m od anteny sektorowej az. 180° | 0.3-2.0 | <0.003* | <0.003* | <0.003* | 0.004 | 0.05 | 54°19'37.6" 19°12'2.2" |
| 14 | PKP na az. 200° w odległości poziomej 56m od anteny sektorowej az. 180° | 0.3-2.0 | <0.003* | <0.003* | <0.003* | 0.004 | 0.05 | 54°19'37.6" 19°12'1.4" |
| 15 | PKP na az. 215° w odległości poziomej 55m od anteny sektorowej az. 180° | 0.3-2.0 | <0.003* | <0.003* | <0.003* | 0.004 | 0.05 | 54°19'37.9" 19°12'0.7" |
| 16 | PKP na az. 173° w odległości poziomej 56m od anteny sektorowej az. 180° | 0.3-2.0 | <0.003* | <0.003* | <0.003* | 0.004 | 0.05 | 54°19'37.6" 19°12'2.9" |
| 17 | PKP na az. 160° w odległości poziomej 55m od anteny sektorowej az. 180° | 0.3-2.0 | <0.003* | <0.003* | <0.003* | 0.004 | 0.05 | 54°19'37.6" 19°12'3.6" |
| 18 | PKP na az. 145° w odległości poziomej 56m od anteny sektorowej az. 180° | 0.3-2.0 | <0.003* | <0.003* | <0.003* | 0.004 | 0.05 | 54°19'37.9" 19°12'4.3" |
| 19 | GKP w odległości poziomej 111m od anteny sektorowej az. 180° | 0.3-2.0 | <0.003* | <0.003* | <0.003* | 0.004 | 0.05 | 54°19'35.8" 19°12'2.5" |
| 20 | GKP w odległości poziomej 7m od anteny sektorowej az. 300° | 0.3-2.0 | <0.003* | <0.003* | <0.003* | 0.004 | 0.05 | 54°19'39.4" 19°12'2.2" |
| 21 | GKP w odległości poziomej 56m od anteny sektorowej az. 300° | 0.3-2.0 | <0.003* | <0.003* | <0.003* | 0.004 | 0.05 | 54°19'40.4" 19°11'59.6" |
| 22 | GKP w odległości poziomej 56m od anteny radioliniowej az. 290° | 0.3-2.0 | <0.003* | <0.003* | <0.003* | 0.004 | 0.05 | 54°19'40.1" 19°11'59.6" |
| 23 | PKP na az. 293° w odległości poziomej 56m od anteny sektorowej az. 300° | 0.3-2.0 | <0.003* | <0.003* | <0.003* | 0.004 | 0.05 | 54°19'40.1" 19°11'59.6" |
| 24 | PKP na az. 307° w odległości poziomej 56m od anteny | 0.3-2.0 | <0.003* | <0.003* | <0.003* | 0.004 | 0.05 | 54°19'40.4" 19°11'60.0" |

Sprawozdanie z badań bez pisemnej zgody laboratorium nie może być powielane inaczej niż w całości.

Wyniki przedstawione w niniejszym sprawozdaniu odnoszą się wyłącznie do badanego obiektu i do warunków i konfiguracji urządzeń w dniu wykonywania pomiarów.

| | | | | | | | | |
|----|---|---------|--------------|--------------|---------|-------|------|----------------------------|
| | sektorowej az. 300° | | | | | | | |
| 25 | PKP na az. 320° w odległości poziomej 52m od anteny sektorowej az. 300° | 0.3-2.0 | <0.003* | <0.003* | <0.003* | 0.004 | 0.05 | 54°19'40.8" 19°12'0.7" |
| 26 | PKP na az. 335° w odległości poziomej 56m od anteny sektorowej az. 300° | 0.3-2.0 | <0.003* | <0.003* | <0.003* | 0.004 | 0.05 | 54°19'41.2" 19°12'1.1" |
| 27 | PKP na az. 280° w odległości poziomej 56m od anteny sektorowej az. 300° | 0.3-2.0 | <0.003* | <0.003* | <0.003* | 0.004 | 0.05 | 54°19'39.7" 19°11'59.3" |
| 28 | PKP na az. 265° w odległości poziomej 55m od anteny sektorowej az. 300° | 0.3-2.0 | <0.003* | <0.003* | <0.003* | 0.004 | 0.05 | 54°19'39.4" 19°11'59.3" |
| 29 | GKP w odległości poziomej 112m od anteny sektorowej az. 300° | 0.3-2.0 | <0.003* | <0.003* | <0.003* | 0.004 | 0.05 | 54°19'41.2" 19°11'57.1" |
| - | GKP w odległości poziomej 261m od anteny sektorowej az. 300° | 2.0 | 0.003 | 0.003 | 0.003 | 0.005 | 0.06 | 54°19'43.7" 19°11'49.9" |
| - | GKP w odległości poziomej 279m od anteny sektorowej az. 45° | 0.3-2.0 | <0.003* | <0.003* | <0.003* | 0.004 | 0.05 | 54°19'45.8" 19°12'13.3" |
| - | GKP w odległości poziomej 239m od anteny sektorowej az. 180° | 0.3-2.0 | <0.003* | <0.003* | <0.003* | 0.004 | 0.05 | 54°19'31.4" 19°12'2.5" |

GKP – Główny Kierunek Pomiarowy

PKP – Pomocniczy Kierunek Pomiarowy

¹ wyniki oznaczone * są wynikami poniżej czułości zestawu pomiarowego i są wynikami spoza zakresu akredytacji. Do obliczenia wyniku skorygowanego przyjęto wartość skorelowaną z rzeczywistym wynikiem pomiaru - dolną granicę akredytowanego zakresu pomiarowego metody

² współrzędne geograficzne pozyskane metodą pomiaru bezpośredniego

³ do wyznaczenia wartości wskaźnikowej W_{ME} i W_{MH} przyjęto na podstawie uzgodnień z klientem oraz rozpoznania źródeł, jako wartości dopuszczalne pola elektrycznego i magnetycznego odpowiednio 28 V/m i 0,073 A/m.

⁴ do wyznaczenia niepewności dla wyników poniżej czułości zestawu pomiarowego, przyjęto niepewność dla minimalnej wartości z zakresu pomiarowego.

⁵ maksymalna wartość chwilowa

Niepewność oszacowano zgodnie z dokumentem P-03 „Procedura nadzoru nad wyposażeniem” w postaci niepewności rozszerzonej wynikającej z niepewności standardowej pomnożonej przez współczynnik rozszerzenia $k=2$.

Całkowita szacowana niepewność rozszerzona składowej E wynosi odpowiednio:

sonda SW-15: 35.1% dla częstotliwości do 4 GHz, sonda SW-16: 29.9% dla częstotliwości do 4 GHz

Pomiar wykonany metodą 2 sond, opisaną w artykule Medycyna Pracy 2015;66(5):701-712 „Optymalizacja metodyki pomiaru wieloczęstotliwościowego pola elektromagnetycznego stacji bazowych telefonii komórkowej”.

Umiejscowienie pionów (punktów) pomiarowych przedstawiono w załączniku nr 2 do niniejszego sprawozdania.

10. Omówienie wyników pomiarów

W związku z tym, że żadna z wartości zmierzonych, udokumentowanych w tabelach w pkt. 9, uzyskanych w skutek zastosowania pomiaru szerokopasmowego, powiększonego o rozszerzoną niepewność pomiaru U dla współczynnika rozszerzenia $k = 2$ nie przekroczyła 70% najniższej dopuszczalnej wartości składowej elektrycznej lub magnetycznej pola dla objętych pomiarami zakresów częstotliwości, nie uwzględnia się poprawek pomiarowych.

W wyniku zastosowania sposobu sprawdzenia dotrzymania dopuszczalnych poziomów pól elektromagnetycznych w środowisku, zgodnie pkt 25 ppkt 1 Rozporządzenia Ministra Klimatu z dnia 17 lutego 2020 r. (Dz. U. 2022, poz. 2630), w związku z tym, że żadna z wartości wskaźnikowych, udokumentowanych w tabelach w pkt. 9 nie przekracza wartości 1, stwierdza się, że w miejscach, w których wykonano pomiary w otoczeniu instalacji radiokomunikacyjnej 38818 (48818N!) GEB_SZTUTOWO_KOBYLAKEPA, dopuszczalne poziomy pól elektromagnetycznych w środowisku należy uznać za dotrzymane.

Miejsca niedostępne podczas wykonywania pomiarów wskazane zostały w pkt. 9 (Wyniki pomiarów) lub na załączniku przedstawiającym usytuowanie pionów pomiarowych.

11. Podstawa prawna

- 1) Ustawa z dnia 27 kwietnia 2001 r. Prawo ochrony środowiska (T. j. Dz. U. z 2025 r., poz. 647 z późn. zm.)
- 2) Rozporządzenie Ministra Zdrowia z dnia 17 grudnia 2019 r. w sprawie dopuszczalnych poziomów pól elektromagnetycznych w środowisku (Dz. U. 2019, poz. 2448)
- 3) Rozporządzenie Ministra Klimatu z dnia 17 lutego 2020 r. w sprawie sposobów sprawdzania dotrzymania dopuszczalnych poziomów pól elektromagnetycznych w środowisku (Dz. U. 2022, poz. 2630),
- 4) Akredytacja nr AB 419 wydana przez Polskie Centrum Akredytacji (wydanie 24, z dnia 14 stycznia 2026 r.)

12. Spis załączników

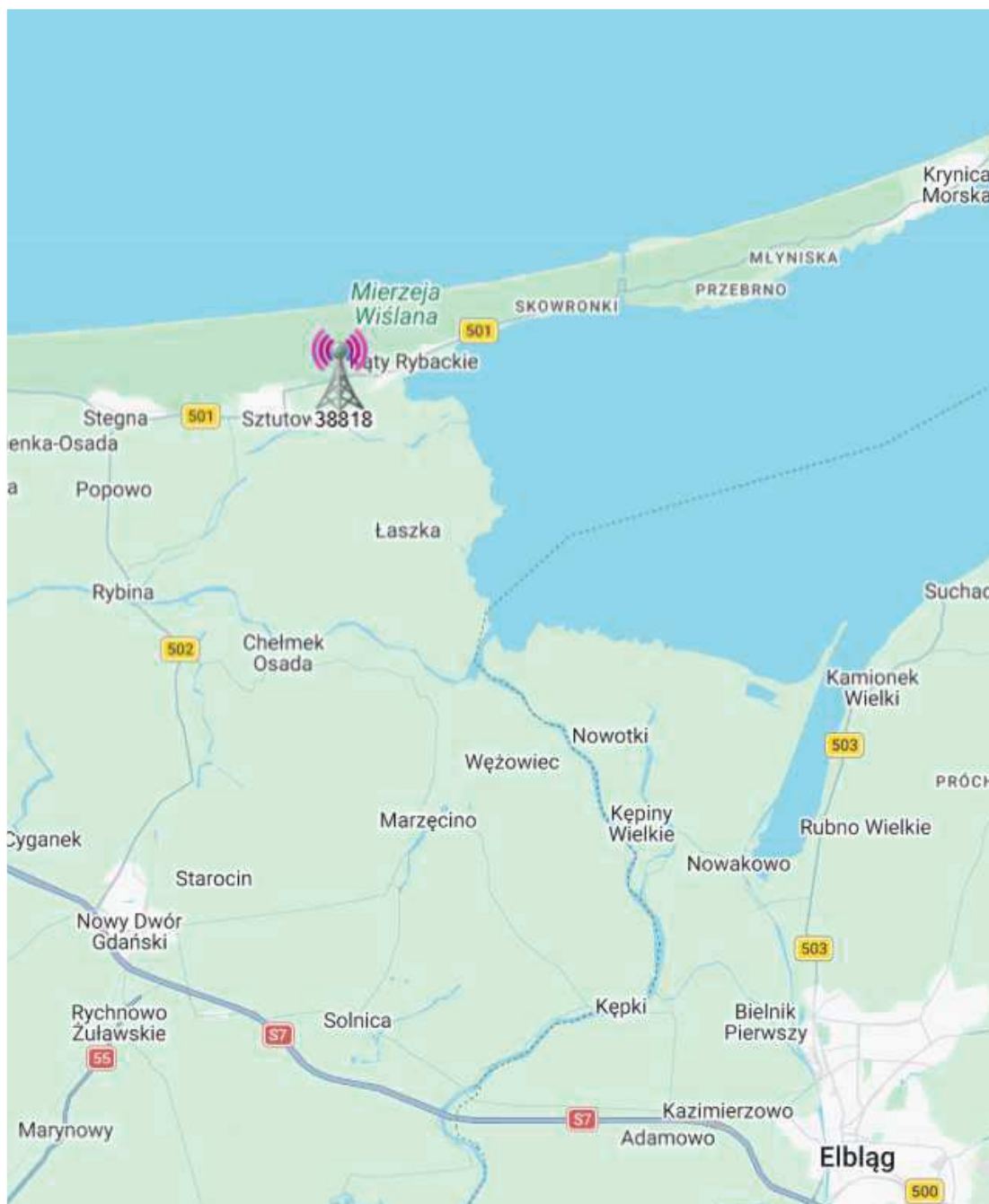
- Załącznik 1. Lokalizacja obiektu badań
- Załącznik 2. Usytuowanie pionów (punktów) pomiarowych
- Załącznik 3. Dokumentacja fotograficzna obiektu badań

13. Data wydania i autoryzowania sprawozdania

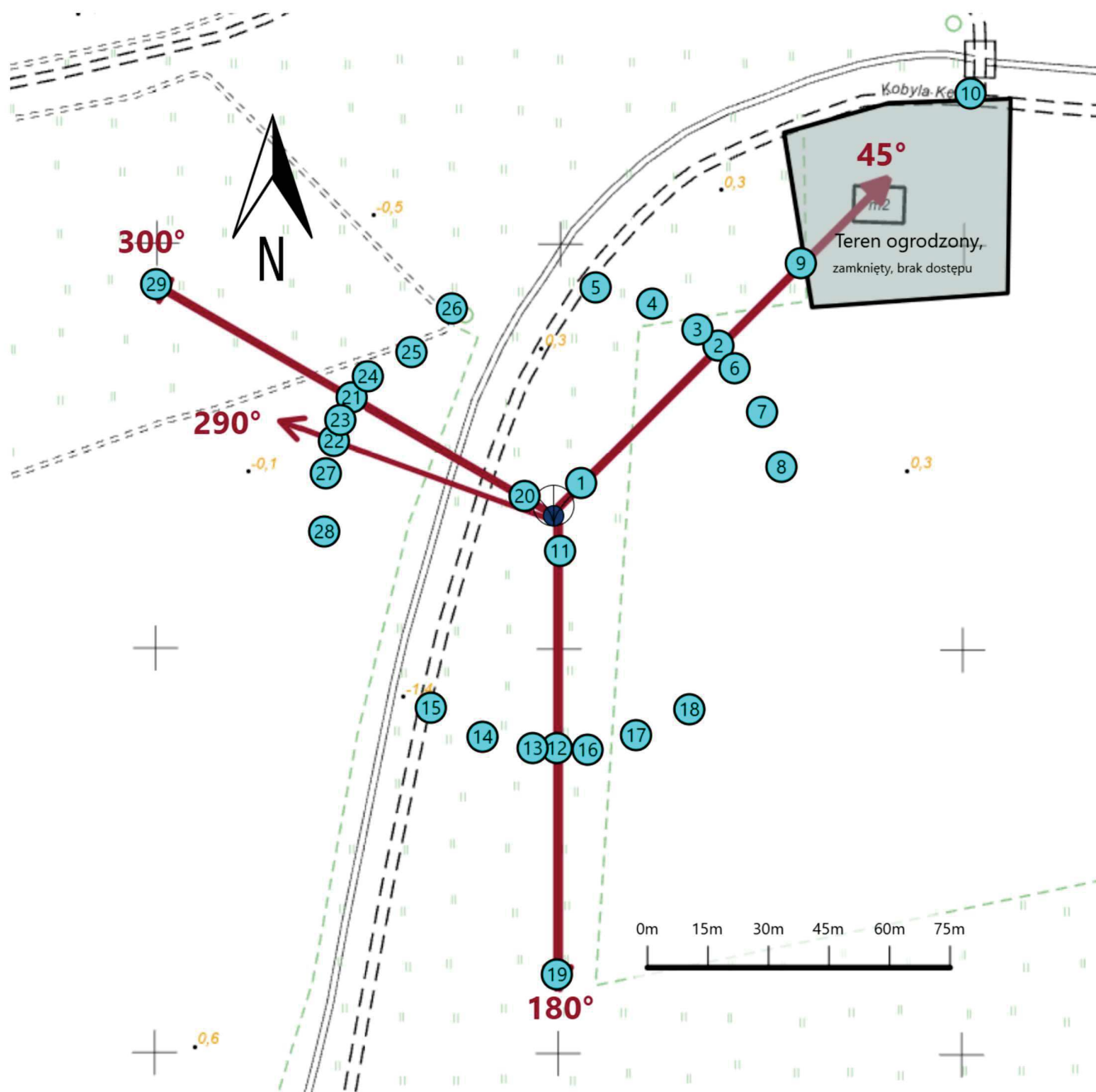
Obliczenia i sprawozdanie wykonał :






Sprawozdanie autoryzował:

Koniec sprawozdania



| | |
|----------------|---|
| Załącznik nr 1 | Instalacja radiokomunikacyjna T-Mobile Polska S.A. 38818 (48818N!) GEB_SZTUTOWO_KOBYLAKEPA Lokalizacja instalacji |
|----------------|---|



| | |
|-----------------------|---|
| <p>Załącznik nr 2</p> | <p style="text-align: center;">Instalacja radiokomunikacyjna T-Mobile Polska S.A. GEB_SZTUTOWO_KOBYLAKEPA (48818N!) Usytuowanie pionów pomiarowych w otoczeniu instalacji radiokomunikacyjnej</p> |
| <p>Legenda:</p> | <p>  Źródło pola elektromagnetycznego  Brak dostępu  Pion pomiarowy  Kierunek oddziaływania anten sektorowych  Kierunek oddziaływania anten radioliniowych </p> |



| | |
|----------------|---|
| Załącznik nr 3 | <p>Instalacja radiokomunikacyjna T-Mobile Polska S.A. 38818 (48818N!) GEB_SZTUTOWO_KOBYLAKEPA</p> <p>Dokumentacja fotograficzna</p> |
|----------------|---|